

1) Seja o sistema de controle mostrado na figura 1 e $G(s) = \frac{4}{s+2}$ e $F(s) = 1$.

1.1 Obtenha via síntese direta $C(s)$ tal que em malha fechada o erro à entrada degrau seja nulo e a constante de tempo em malha fechada seja $1/5$ da constante de tempo de malha aberta.

1.2 Esboce na mesma figura a resposta ao degrau em malha aberta e em malha fechada.

1.3 Analise a rejeição do distúrbio $D(s)$ usando o controlador projetado.

2) Seja $G(s) = \frac{1}{s^2 + 0.7s + 1}$.

2.1 Esboce a resposta ao degrau deste sistema.

2.2 Escolha um modelo de referência $T(s)$ para o sistema em malha fechada de modo que se tenha sobrelevação menor que 5% e tempo de estabelecimento menor que a metade do obtido em malha aberta.

2.3 Projete um controlador $C(s)$ via síntese direta de modo que em malha fechada se tenha o mesmo tempo de estabelecimento porém sem sobrelevação.

2.4 Seja o pré-compensador $F(s)$ da figura. Em qual dos casos 2.2 ou 2.3 ele pode melhorar a resposta $\frac{Y(s)}{R(s)}$ e como deve ser projetado?

3) A figura 2 mostra o resultado do projeto de um controlador $C(s)$ para uma FT dada por $G(s) = \frac{2}{5s^2 + 6s + 1}$.

3.1 Identifique as curvas obtidas das FTs $\frac{Y(s)}{R(s)}$, $\frac{U(s)}{R(s)}$, $\frac{E(s)}{R(s)}$, $\frac{Y(s)}{D(s)}$, para $R(s) = D(s) = \frac{1}{s}$, justificando as escolhas.

3.2 Explique como obter o valor de IAE a partir destas curvas para resposta à entrada degrau $R(s)$ e ao distúrbio $D(s)$.

Peso 1.5 para 1.1 e 2.3. Os demais itens têm peso 1.0.

Solução

Questão 1

```
g1=tf(4,[1 2]);
```

1.1 Controlador: $\tau=1/2=0.5$ e o ganho é $K=4/2=2$ $\lambda=0.5/5=0.1$ $k_p=\tau/(K*\lambda)$; $k_i=1/\tau$;

```
c1=pidtuning(g1,0.1)
```

c1 =

$$K_p + K_i * \frac{1}{s}$$

with $K_p = 2.5$, $K_i = 5$

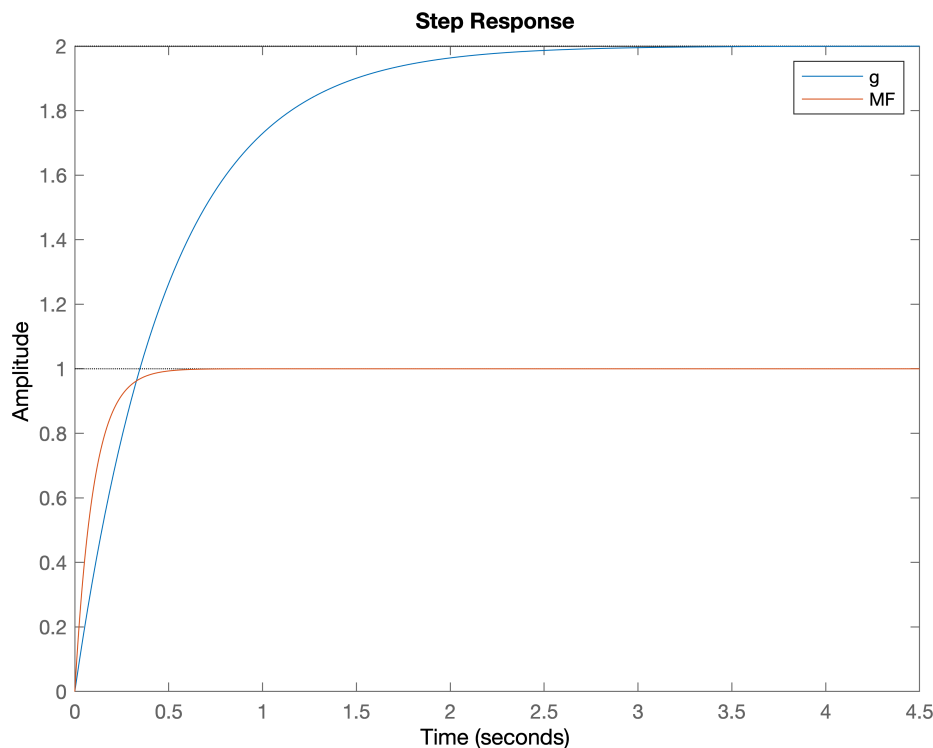
Continuous-time PI controller in parallel form.

```
m1=feedback(c1*g1,1);
```

$K_p=2.5$ $K_i=5/2.5$

1.2 Esboçar a resposta: usar informação de ganho $K=2$ e constante de tempo $\tau=0.5$ para malha aberta e $K=1$ $\tau=0.1$ para malha fechada

```
figure;step(g1,m1);legend('g','MF')
```



$$1.3 \frac{Y(s)}{D(s)} = \frac{G(s)}{1 + C(s)G(s)} = \frac{4s^2 + 8s}{s^3 + 4s^2 + 44s + 80}$$

Aplicando o teorema do valor final para D(s) degrau unitário, resulta $y(\infty) = 0$.

Questão 2

```
g2=tf(1,[1 0.7 1]);
```

2.1 Obter UP e ts usando ζ, ω_n e desenhar resposta

```
wn=1;  
zeta=0.7/(2*wn)
```

```
zeta = 0.3500
```

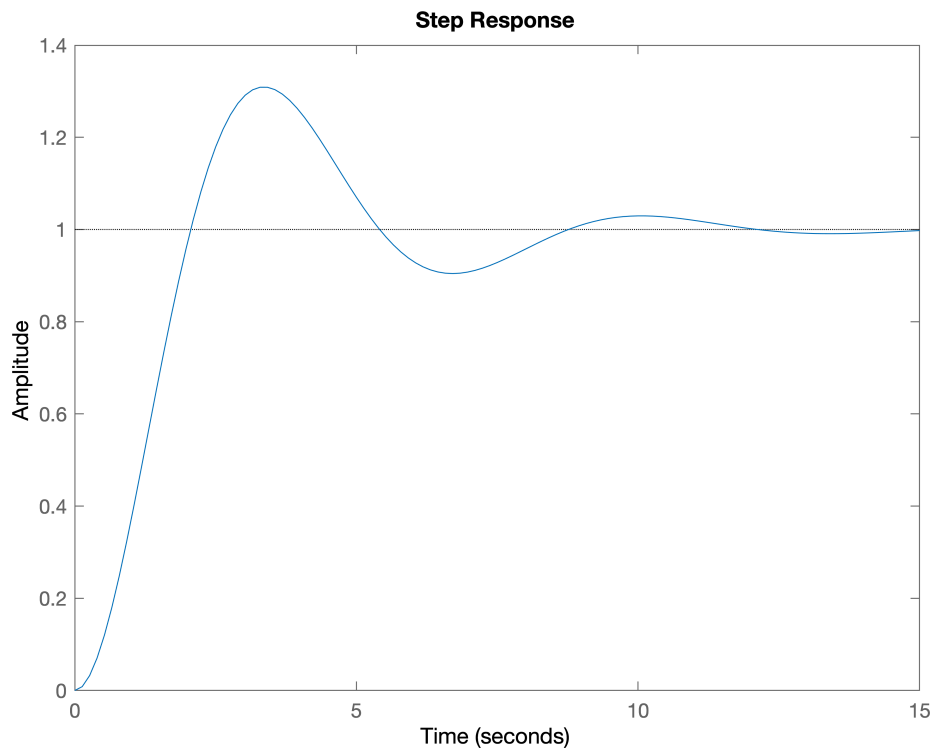
```
UP=100*exp(-zeta*pi/(sqrt(1-zeta^2)))
```

```
UP = 30.9190
```

```
ts=4/(zeta*wn)
```

```
ts = 11.4286
```

```
figure;step(g2);
```



2.2 UP=5% implica $\zeta = 0.69$, tempo de estabelecimento =7s implica $\omega_n = 0.83$. Portanto,

$$T(s) = \frac{0.68}{s^2 + 1.15s + 0.68}$$

2.3 Como UP=0, deve-se escolher $T(s) = \frac{1}{\lambda s + 1}$, com $\lambda = 14/4$. O controlador resultante é um PID dado por $K_p = 0.475$, $K_i = 0.286/K_p$, $K_d = 0.415/K_p$.

2.4 Ele pode ser usado no caso 2.2 para cancelar o efeito dos 2 zeros introduzidos pelo controlador PID, que fazem com que a resposta em malha fechada $\frac{C(s)G(s)}{1 + C(s)G(s)}$ seja diferente da FT especificada $T(s)$. $F(s)$ é projetado como $F(s) = \frac{1}{B(s)}$, onde $B(s)$ são os zeros do controlador PID, porém removendo seu ganho.

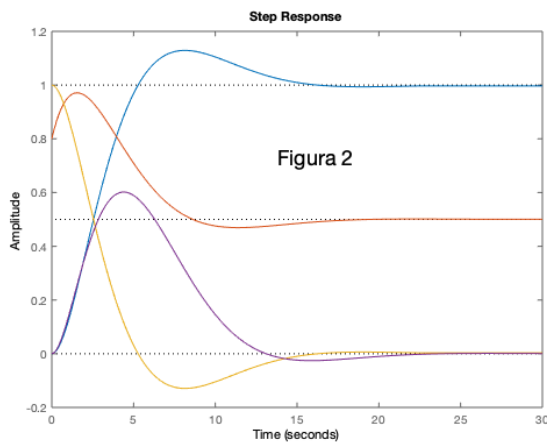
No caso 2.3 $F(s)$ não tem efeito pois os zeros do controlador já cancelam os polos da FT de malha aberta.

Questão 3

3) A figura 2 mostra o resultado do projeto de um controlador $C(s)$ para uma FT dada por $G(s) = \frac{2}{5s^2 + 6s + 1}$.

3.1 Identifique as curvas obtidas dos modelos $\frac{Y(s)}{R(s)}$, $\frac{U(s)}{R(s)}$, $\frac{E(s)}{R(s)}$, $\frac{Y(s)}{D(s)}$, para $R(s) = D(s) = \frac{1}{s}$, justificando as escolhas.

3.2 Explique como obter o valor de IAE a partir destas curvas.



Questão 3

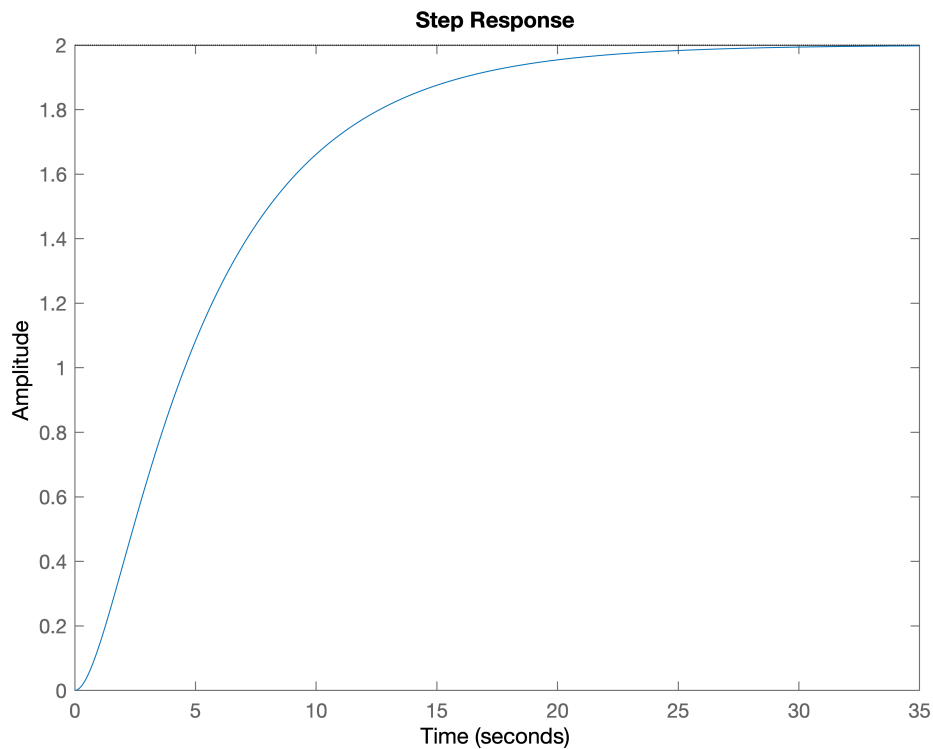
```
g3=tf(2,[5 6 1])
```

g3 =

$$\frac{2}{5s^2 + 6s + 1}$$

Continuous-time transfer function.

```
figure;step(g3)
```



```
[c, iae]=pidtuning(g3,'method','polealloc','type','PI','param',[5 10]) ;  
my=feedback(c*g3,1);  
mu=feedback(c,g3);  
me=feedback(1,c*g3);  
md=feedback(g3,c);  
% figure;  
% step(my,mu,me,md);
```

3.1 A figura abaixo identifica as curvas.

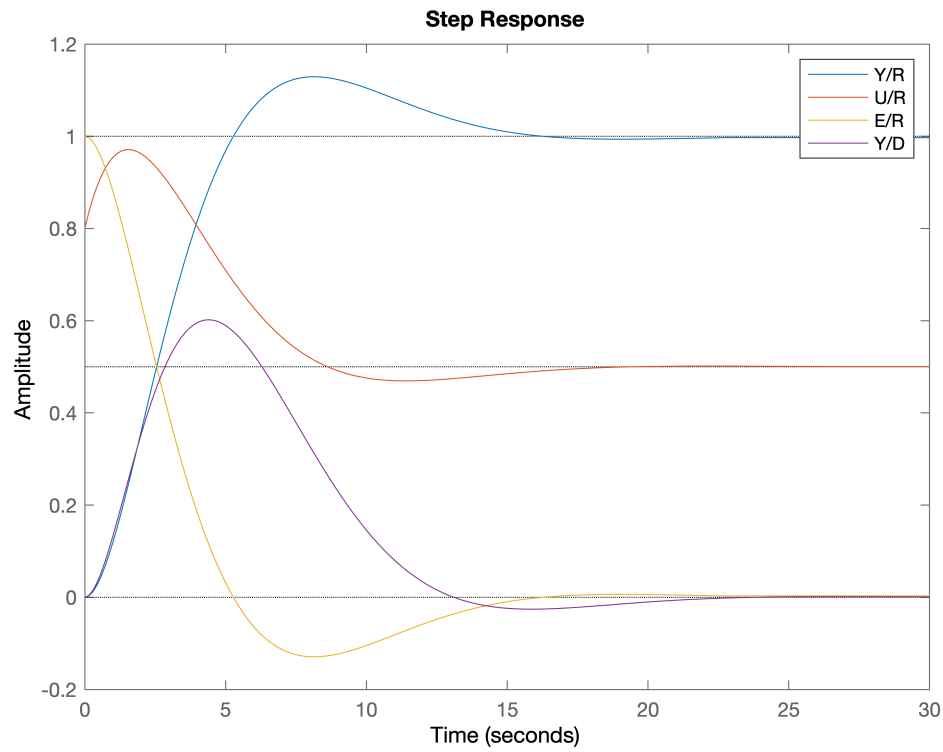
Y/R começa em zero e tende a 1 em regime.

U/R começa com um valo inicial não nulo e tende a um valor constante em regime.

E/R começa com o valor de R(=1) e tende a zero em regime pois Y tende a R.

Y/D começa com valor nulo no início do distúrbio e depois volta a zero pois o distúrbio é rejeitado.

```
figure;  
step(my,mu,me,md); legend('Y/R','U/R','E/R','Y/D')
```



3.2 O valor do IAE é obtido integrando o valor absoluto do erro $E=R-Y$, no intervalo de tempo de 0 a 30 segundos.

Para resposta a $R(s)$, o erro a integrar é $R-Y$, ou seja, $1-Y$.

Para resposta a $D(s)$, o erro a integrar também é $|R-Y|$, neste caso, $0-Y=|-Y|$.